

pdf

Ч

АКАДЕМИЯ НАУК СССР

ФИЗИКА МЕТАЛЛОВ  
и  
МЕТАЛЛОВЕДЕНИЕ

ТОМ 59

2

ОТДЕЛЬНЫЙ ОТТИСК

1985

УДК 669.85/86.018 : 538.665

## МАГНИТОКАЛОРИЧЕСКИЙ ЭФФЕКТ В РЕДКОЗЕМЕЛЬНЫХ СПЛАВАХ Gd—Ho и Gd—Er

C. A. Никитин, A. C. Андреенко, A. M. Тишин, A. M. Архаров,  
A. A. Жердев

Проведены измерения магнитокалорического эффекта (МКЭ) в сплавах Gd—Ho и Gd—Er. Обнаружено, что МКЭ в точках магнитных фазовых переходов достигает весьма больших значений (до 10,5 К в магнитном поле 6 Тл) и значительно превышает величину МКЭ в 3d-металлах. Установлено, что величина МКЭ при температуре перехода из магнитоупорядоченного состояния в парамагнитное определяется средним значением проекции спина на полный механический момент иона редкоземельного металла.

Магнитные свойства сплавов редкоземельных металлов (РЗМ) достаточно подробно исследованы [1]. Однако магнитокалорический эффект (МКЭ), который является важной термодинамической характеристикой магнетиков, до сих пор изучался лишь в сплавах Tb—Y и Tb—Gd [2, 3]. Исследования МКЭ в сплавах РЗМ представляют интерес для изучения сложных магнитных переходов из ферромагнитной фазы в спиральные антиферромагнитные фазы. В данной работе сообщаются результаты исследования МКЭ в системах сплавов РЗМ Gd—Ho и Gd—Er в широкой температурной области 20...300 К и в магнитных полях до 6 Тл.

Для исследования МКЭ нами была создана установка, позволявшая проводить измерения в поле сверхпроводящего соленоида. Перед началом измерений образец, находящийся в вакуумированной вставке, помещался над соленоидом, где магнитное поле отсутствовало. После того как в соленоиде устанавливалось поле заданной величины, образец с максимально допустимой скоростью (время ввода было менее 1 с) вводился в соленоид.

В тот момент, когда образец попадал в центр соленоида, с помощью термопары, помещенной в центральной части образца, измерялось изменение температуры образца вследствие МКЭ. Такой метод позволял свести до минимума потери на рассеяние тепла, индуцированного в образце за счет МКЭ.

Проведенный нами теоретический анализ тепловых потерь при измерениях МКЭ и дополнительные экспериментальные проверки позволили определить, что относительная ошибка измерения МКЭ составляла 8...15%.

Были исследованы системы поликристаллических сплавов  $Gd_xHo_{1-x}$  и  $Gd_xEr_{1-x}$  ( $x=0; 0.2; 0.4; 0.6; 0.8; 1$ ). Сплавы изготовлены методом дуговой плавки на медном водоохлаждаемом поду в печи с нерасходуемым вольфрамовым электродом. Гомогенизирующий отжиг производился в вакууме при  $850^{\circ}\text{C}$  в течение 20 ч. Взвешивание слитков показало, что их вес отличается от первоначального не более чем на 0,1%.

Поликристаллические образцы РЗМ имели следующее содержание примесей, %:  $\text{Sm} < 0.1$ ;  $\text{Eu} < 0.1$ ;  $\text{Fe} < 0.01$ ;  $\text{Cu} < 0.01$ ;  $\text{Ta} < 0.02$ ;  $\text{Ca} < 0.01$ .

Измерения МКЭ проводили на образцах, имевших форму цилиндра диаметром 5...6 мм и длиной 10...12 мм.

### РЕЗУЛЬТАТЫ ЭКСПЕРИМЕНТА И ИХ ОБСУЖДЕНИЕ

В [2, 3] было установлено, что в сплавах Tb—Y и Tb—Gd величина МКЭ имеет максимум в точках магнитных фазовых переходов. В гадолинии МКЭ достигает максимального значения при  $T_c=293$  К, что объясняется интенсивным парапроцессом в области магнитного фазового превращения [4, 5]. В гольмии и эрбии температуры фазовых переходов «парамагнетизм — антиферромагнетизм» составляют 132 и 85 К соответственно. Следовательно, в сплавах Gd—Ho и Gd—Er можно предполагать наличие максимума МКЭ при температурах, расположенных в интервале между точками Кюри и Нееля чистых РЗМ.

Магнитокалорический эффект в сплавах  $Gd_xHo_{1-x}$ . На рис. 1а представлены температурные зависимости МКЭ для сплавов  $Gd_xHo_{1-x}$

в магнитном поле  $H=6$  Тл. Видно, что МКЭ достигает максимального значения при температурах: 268 К — для сплава  $Gd_{0,8}Ho_{0,2}$ ; 230 К — для  $Gd_{0,6}Ho_{0,4}$ ; 194 К — для  $Gd_{0,4}Ho_{0,6}$ ; 160 К — для  $Gd_{0,2}Ho_{0,8}$ ; 132 К — для Ho. Большие значения МКЭ в точках фазовых переходов связаны, как известно [1], с процессами истинного намагничивания (парапроцессом) и могут быть вычислены из термодинамического соотношения [6]

$$\Delta T = - \frac{T}{C_{p,H}} \left( \frac{\partial I}{\partial T} \right)_H \Delta H,$$

где  $C_{p,H}$  — теплоемкость, а  $I$  — намагниченность.

Величина максимума МКЭ в точках перехода уменьшается при увеличении содержания Ho в сплавах Gd—Ho: в поле 6 Тл от 10,5 К для сплава  $Gd_{0,8}Ho_{0,2}$  до 4,5 К для Ho.

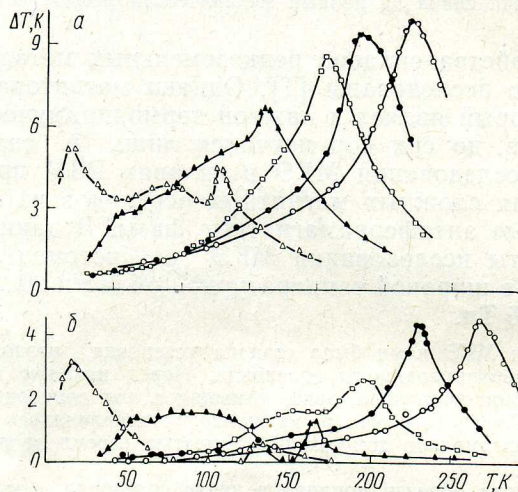


Рис. 1. Температурная зависимость магнитокалорического эффекта в магнитном поле  $H=6$  Тл (а) и  $H=2$  Тл (б):  
 $\triangle$  — Ho;  $\blacktriangle$  —  $Gd_{0,8}Ho_{0,2}$ ;  $\square$  —  $Gd_{0,6}Ho_{0,4}$ ;  $\bullet$  —  $Gd_{0,4}Ho_{0,6}$ ;  
 $\circ$  —  $Gd_{0,2}Ho_{0,8}$ .

Ранее было установлено, что в общем случае в РЗМ и их сплавах МКЭ имеет несколько вкладов [7], и, в частности, вклад, обусловленный разрушением геликоидальной антиферромагнитной структуры в магнитном поле.

В гольмии (см. рис. 1а) имеют место максимумы на кривых температурной зависимости МКЭ при температуре перехода «ферромагнетизм — антиферромагнетизм»  $\Theta_1=20$  К ( $\Delta T_{max}=5,1$  К в поле  $H=6$  Тл) и при температуре перехода «антиферромагнетизм — парамагнетизм»  $\Theta_2=132$  К ( $\Delta T_{max}=4,5$  К в поле  $H=6$  Тл). На кривых  $\Delta T=f(T)$  наблюдаются слабые максимумы в интервале температур 70...90 К в полях  $H=(3\dots 6)$  Тл. Они являются результатом сложной температурной зависимости критического магнитного поля, при котором разрушается антиферромагнитная геликоидальная структура. Как известно из магнитных измерений [8], в гольмии в области температур 0...20 К существует спиральная магнитная структура в базисной плоскости, ферромагнитная компонента которой направлена вдоль оси  $c$ . В интервале температур 20...132 К спиновая структура гольмия представляет собой антиферромагнитную спираль (геликоид) в базисной плоскости.

Согласно магнитным измерениям [9], в сплавах  $Gd_xHo_{1-x}$  при  $x>0,75$  геликоидальное упорядочение отсутствует, а при концентрациях  $x=0\dots 0,75$  в сплавах наблюдаются два типа переходов: «парамаг-

нетизм — геликоидальный антиферромагнетизм» в точке  $\Theta_2$  и «геликоидальный антиферромагнетизм — ферромагнетизм» в точке  $\Theta_1$ . Поэтому в сплавах Gd—Ho при  $x < 0,4$  наблюдаются особенности температурных зависимостей МКЭ, связанные с разрушением геликоидальной антиферромагнитной структуры. Как видно из рис. 1б, в поле  $H=2$  Тл для сплава  $Gd_{0,2}Ho_{0,8}$  наблюдается широкий максимум МКЭ в интервале температур 40...140 К. Это обусловлено тем, что магнитное поле индуцирует переход «геликоидальный антиферромагнетизм — ферромагнетизм». В больших полях, существенно превышающих поле разрушения геликоидальной структуры, данный максимум исчезает, так как в этом случае преобладает МКЭ за счет парапроцесса.

В образцах с большим содержанием Gd ( $x > 0,75$ ) антиферромагнитное состояние отсутствует, вследствие чего низкотемпературный максимум не наблюдается. В сплавах, содержащих 60 и 40% Gd,

на кривых температурной зависимости наблюдаются лишь изломы, связанные с разрушением антиферромагнитного состояния. В этих сплавах выделение тепла за счет МКЭ невелико вследствие малой величины критического поля, при котором происходит разрушение антиферромагнитного состояния.

**Магнитокалорический эффект в сплаве  $Gd_xEr_{1-x}$ .** На рис. 2 представлены температурные зависимости МКЭ в сплавах  $Gd_xEr_{1-x}$ . Максимальные значения МКЭ при  $H=6$  Тл наблюдаются при температурах: 266,5 К в  $Gd_{0,8}Er_{0,2}$ ; 220 К для  $Gd_{0,6}Er_{0,4}$ ; 168 К для  $Gd_{0,4}Er_{0,6}$ ; 125 К для  $Gd_{0,2}Er_{0,8}$  и 85 К для Er.

В эрбии кривые температурной зависимости МКЭ имеют максимумы вблизи температуры перехода «антиферромагнетизм — парамагнетизм»  $\Theta_2 = 85$  К. В поле  $H=6$  Тл максимальная величина МКЭ при 85 К составляет 3,2 К. В области от  $\Theta_1 = 19,6$  К до  $\Theta_1 = 79$  К, где при  $H=0$  реализуется антиферромагнитная структура [8], в  $\Delta T = f(T)$  наблюдается максимум, обусловленный ее разрушением под действием магнитного поля. Как и гольмий, эрбий обладает большой величиной МКЭ (около 3 К при  $H=6$  Тл) в широкой температурной области 30...85 К.

Температурные зависимости МКЭ в сплавах Gd—Er носят более сложный характер. Как было установлено в [9], в этих сплавах при  $T < \Theta_2$  также наблюдаются антиферромагнитные структуры, если содержание Er в сплаве более 30 ат. %. Однако эти структуры более сложные, чем простая спиральная магнитная структура. Как и в эрбии, здесь имеют место осцилляции магнитного момента вдоль гексагональной оси кристалла в антиферромагнитной области [1]. Наличие сложных магнитных структур и разрушение их магнитным полем вносят свой вклад в суммарный МКЭ, что приводит к появлению особенностей на кривых температурной зависимости МКЭ. Максимумы на кривых  $\Delta T(T)$  при

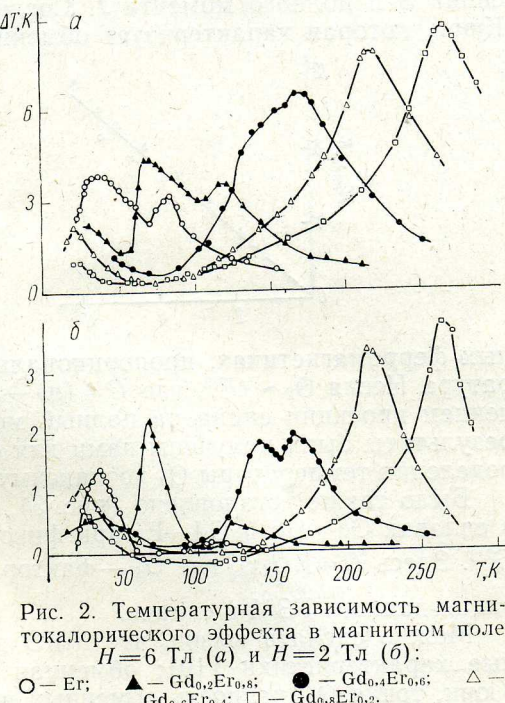


Рис. 2. Температурная зависимость магнитокалорического эффекта в магнитном поле  $H=6$  Тл (а) и  $H=2$  Тл (б):  
 ○ — Er; ▲ —  $Gd_{0,2}Er_{0,8}$ ; ● —  $Gd_{0,4}Er_{0,6}$ ; △ —  $Gd_{0,6}Er_{0,4}$ ; □ —  $Gd_{0,8}Er_{0,2}$ .

$T < \Theta_2$  наблюдаются также в точке  $\Theta_1$ , которая соответствует температуре фазового перехода из антиферромагнитного состояния в состояние со структурой типа ферромагнитной спирали. Эти температуры равны: 24,5; 142 и 69 К для сплавов  $Gd_{0,6}Er_{0,4}$ ;  $Gd_{0,4}Er_{0,6}$  и  $Gd_{0,2}Er_{0,8}$  соответственно. С увеличением концентрации Er происходит уменьшение отношения  $\Delta T(\Theta_2)/\Delta T(\Theta_1)$ .

**Зависимость МКЭ в сплавах РЗМ в точке  $\Theta_2$  от величины обменного взаимодействия.** Представляло интерес выяснить, каким общим закономерностям подчиняется величина МКЭ в области наиболее интенсивного парапроцесса в точке  $\Theta_2$ .

Магнитное упорядочение в тяжелых РЗМ и их сплавах определяется косвенным обменным взаимодействием через электроны проводимости, которое зависит от атомных постоянных редкоземельных ионов: спина  $S$  и полного момента  $J$ . Согласно [1, 10], парамагнитная точка Кюри, которая характеризует обменное взаимодействие в редкоземель-

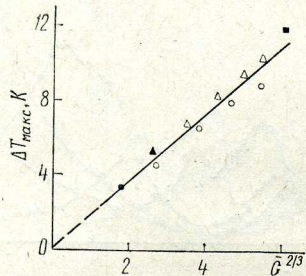


Рис. 3. Зависимость магнитокалорического эффекта в точке  $\Theta_2$  при  $H=6$  Тл от среднего значения фактора де Жена:  
 ■ — Gd; ▲ — Ho; ● — Er;  
 △ — сплавы Gd—Ho; ○ — сплавы Gd—Er.

ных ферромагнетиках, пропорциональна фактору де Жена  $G$ , а температура Нееля  $\Theta_2 \sim G^{2/3}$ , где  $G = (g_J - 1)^2 J(J+1)$  является средним значением проекции спина на полный механический момент. Аналогичные результаты были получены нами для сплавов Gd—Ho и Gd—Er при определении температуры  $\Theta_2$  по максимуму МКЭ.

Было также установлено (рис. 3), что величина МКЭ  $\Delta T$  в точке  $\Theta_2$  в сплавах Gd—Ho и Gd—Er при фиксированном поле пропорциональна  $G^{2/3}$ . Здесь  $G = \sum_i G_i x_i$ , где  $G_i$  — фактор де Жена РЗ иона;  $x_i$  — концентрация данного РЗМ в сплаве.

Можно сделать вывод, что МКЭ в точке  $\Theta_2$ , как и другие магнитные характеристики [10]; обменная энергия, парамагнитная точка Кюри, точка  $\Theta_2$ , разность обменных интегралов в ферро- и антиферромагнитных состояниях определяются средним значением проекции спина на полный механический момент.

Этот результат представляет практический интерес, так как дает возможность прогнозировать величину МКЭ в точке  $\Theta_2$  в сплавах тяжелых РЗМ друг с другом. Варьируя соотношение РЗМ компонентов, обладающих различными значениями фактора де Жена, можно подготовить сплав, обладающий максимальным МКЭ в заданном интервале температур.

Московский государственный  
имени М. В. Ломоносова  
МВТУ имени Н. Э. Баумана

Поступила в редакцию  
26 июня 1984 г.

#### ЛИТЕРАТУРА

1. Тейлор К., Дарби М. Физика редкоземельных соединений. М.: Мир, 1974, 373 с.
2. Андреенко А. С. Магнитокалорический эффект и магнитные свойства редкоземельных сплавов и соединений на основе тербия. — Автореф. канд. дисс. М.: МГУ, 1978, 21 с.
3. Никитин С. А., Андреенко А. С., Чуприков Г. Е., Поядо В. П. Магнитные фазовые переходы и магнитокалорический эффект в монокристаллах сплавов тербий — иттрий. — ЖЭТФ, 1977, 73, вып. 1, с. 228—236.

4. Никитин С. А., Талалаева Е. В., Черникова Л. А., Чуприков Г. Е., Иванова Т. И., Казаков Г. Е., Ярхο Г. А. Особенности магнитного поведения и магнитокалорический эффект в монокристалле гадолиния. — ЖЭТФ, 1978, **74**, вып. 1, с. 205—213.
5. Brown G. Magnetic heat pumping near room temperature. — J. Appl. Phys, 1976, **47**, 8, p. 3673—3680.
6. Белов К. П. Упругие, тепловые и электрические явления в ферромагнетиках. М.: Гостехиздат, 1957, 279 с.
7. Никитин С. А., Андреенко А. С., Талалаева Е. В., Черникова Л. А., Тишин А. М., Архаров А. М., Жердев А. А. Магнитокалорический эффект в редкоземельных металлах и их сплавах. — Тезисы докл. XVI Всесоюзной конференции по физике магнитных явлений. Тула, 1983, с. 14.
8. Белов К. П., Белянчикова М. А., Левитин Р. З., Никитин С. А. Редкоземельные ферро- и антиферромагнетики. М.: Наука, 1965, 319 с.
9. Fujii H., Hashimoto Y., Mishima A., Shohata N., Okamoto T. Magnetic Anisotropy in the Binary Alloys of Gd with the Other Heavy Rare Earth Metals. — J. Phys. Soc. Japan, 1976, **41**, 4, p. 1179—1186.
10. Никитин С. А. Взаимосвязь магнитного упорядочения, магнитострикции и электронной структуры в тяжелых редкоземельных металлах и их сплавах. — Автореф. докт. дисс. М.: МГУ, 1982, 489 с.